

سنتز نانوکاتالیست $\text{NiMo}/\text{F-Al}_2\text{O}_3$ به روش تلقيح و اصلاح شده با فلوئور جهت استفاده در گوگرددایی از سوخت‌های هیدروکربنی

میترا ابراهیمی نژاد^{*۲،۱} و محمد حقیقی^{**۲،۱}

۱- دانشگاه صنعتی سپهند، دانشکده مهندسی شیمی

۲- دانشگاه صنعتی سپهند، مرکز تحقیقات راکتور و کاتالیست

(دریافت: ۱۴/۵/۱۳۹۱، دریافت آخرین اصلاحات: ۱۰/۱۰/۹۱، پذیرش: ۱۷/۱۱/۹۱)

در این تحقیق، نانوکاتالیست $\text{NiMo}/\text{F-Al}_2\text{O}_3$ به روش تلقيح و با غلظت‌های متفاوت فلوئور برای حذف تیوفن از سوخت‌های هیدروکربنی سنتز شد. خواص فیزیکی-شیمیایی نانوکاتالیست‌های سنتزی توسط روش‌های آنالیز دستگاهی XRD و $FESEM$ مورد بررسی قرار گرفت. نانوکاتالیست حاوی مقدار بینه فلوئور (۱ درصد وزنی) خواص ساختاری و سطحی مطلوب‌تری نسبت به نانوکاتالیست بدون فلوئور از خود نشان داد. افزایش فلوئور باعث افزایش سطح ویژه نانوکاتالیست و کاهش اندازه ذرات نانوکاتالیست شد. ارزیابی عملکرد نانوکاتالیست‌های سنتزی نشان‌دهنده قابلیت کاهش تیوفن از سوخت‌های هیدروکربنی به کمتر از 10.0 ppm است. این امر به دلیل سطح مخصوص و خواص منحصر به فرد ساختاری این نانوکاتالیست است.

کلیدواژگان: $\text{NiMo}/\text{Al}_2\text{O}_3$ ، گوگرددایی، فلوئور، خواص ساختاری

مقدمه

در صنعت پالایش نفت، گوگرد به شکل ترکیبات آلی وجود دارد که طی فرایندی موسوم به گوگرددایی با استفاده از هیدروژن حذف می‌شود. برای این منظور، ترکیبات گوگرددار در حضور کاتالیست با هیدروژن واکنش داده و به سولفید هیدروژن و هیدروکربن تبدیل می‌شوند. سولفید هیدروژن به دست آمده گازی شکل بوده و به آسانی از محصولات دیگر جدا می‌شود [۱] . با توجه به اینکه ترکیبات گوگرددار موجود در مشتقان نفتی باعث تولید آلاینده‌های هوا، ایجاد خوردگی در تجهیزات فلزی و مسموم شدن کاتالیست‌های پالایشگاهی می‌شوند، قوانین سخت‌گیرانه زیست‌محیطی زیادی برای کاهش میزان گوگرد موجود در سوخت‌های حمل و نقل، به ویژه در کشورهای در حال توسعه، وضع شده است؛ در نتیجه امروزه یک بخش بزرگ از تحقیقات در زمینه کاتالیست‌های ناهمگن به کاتالیست‌های فرایند هیدروکسی‌سولفوریزاسیون برش‌های نفتی، برای تولید سوخت تمیز، اختصاص یافته است. همچنین، وجود استانداردهای سخت‌گیرانه‌ای که هر ساله به دلیل مشکلات زیست‌محیطی در کشورها وضع می‌شوند، امکان صادرات فراورده‌های سوختی با آلایندگی بالا را غیرممکن می‌سازد. بنابراین کشورهای صادرکننده نفت همواره در صدد حذف ترکیبات گوگرددار بوده‌اند. با توجه به دلایل ذکر شده، برای کاهش میزان گوگرد موجود در بنزین و دیگر برش‌های نفتی ضرورت استفاده از کاتالیست‌های فرایند هیدروکسی‌سولفوریزاسیون کاملاً آشکار است [۲-۴] . یکی از بزرگ‌ترین چالش‌ها در کاهش میزان گوگرد سوخت‌ها، وجود ترکیبات گوگردداری است که در برابر فرایند گوگرددایی مقاوم‌اند. این گونه‌های مقاوم، گروه‌های حلقوی آروماتیکی هستند که به عنوان مشتقان دی بنزوتیوفن شناخته

* کارشناس ارشد (m_ebrahimy_n@yahoo.com)

** استادیار - نویسنده مخاطب (haghghi@sut.ac.ir)

می‌شوند (مثل 4,6-DMDBT). واکنش‌پذیری پایین مشتقات دی‌بنزوتیوفن در سوخت‌ها عموماً به ممانعت فضایی گروه‌های آلکیل نزدیک اتم گوگرد نسبت داده می‌شود که از دسترسی پیوند C-S-C با سطح کاتالیست جلوگیری می‌کنند. بر این اساس گونه‌های مقاوم، قبل از این که گوگردزدایی شوند، ابتدا به یک ترکیب حد واسط تبدیل می‌شوند و سپس گوگردزدایی می‌شوند. بنابراین، برای گوگردزدایی از گونه‌های مقاوم و رسیدن به مقادیر پایین گوگرد در سوخت‌ها، نیاز به کاتالیست‌های با فعالیت بالا وجود دارد [۷-۵،۲]. در فرایندهای گوگردزدای هیدروژن اغلب از کاتالیست‌های CoMo و NiMo استفاده می‌شود، ولی این کاتالیست‌ها برای گوگردزدایی عمیق گونه‌های گوگرددار مقاوم موجود در برش‌های نفتی زیاد موثر نیستند. درنتیجه برای کاهش میزان گوگرد موجود در سوخت‌ها و رساندن آن به سطح استانداردهای بین‌المللی، باید فعالیت کاتالیست‌های متداول در فرایند هیدروکسی‌سولفوریزاسیون را بهبود بخشد. برای رسیدن به این هدف، پالایشگاه‌ها نیاز به کاتالیست‌های با فاز فعال بیشتر و مؤثرتر دارند [۲]. با اضافه کردن عناصر مختلف به پایه یا فاز فعال، می‌توان نقاط فعال بیشتری را ایجاد کرد [۸]. اضافه کردن تقویت‌کننده ثانویه به سیستم کاتالیستی به عنوان یک روش موثر برای بهبود فعالیت و انتخاب‌پذیری کاتالیست به اثبات رسیده است. تاثیر تقویت‌کننده ثانویه روی کاتالیست‌ها و سازوکار کاتالیستی به عنوان یک موضوع روز به شمار می‌رود. در میان همه تقویت‌کننده‌هایی که برای بهبود عملکرد کاتالیست مورد استفاده قرار می‌گیرد، اصلاح پایه گاما آلومینا به وسیله فلورور یکی از موثرترین راه‌هاست. اضافه کردن فلورور یکی از روش‌های بهبود فعالیت کاتالیست‌ها برای فرایند هیدروکسی‌سولفوریزاسیون عمیق است. فلورور قدرت اسیدی آلومینا را که به طور معمول به عنوان پایه برای کاتالیست‌های هیدروکسی‌سولفوریزاسیون استفاده می‌شود، افزایش می‌دهد. تأثیر فلورور روی فرایند هیدروکسی‌سولفوریزاسیون بستگی به ترکیب کاتالیست‌ها و واکنش‌دهنده مورد نظر و روش اضافه کردن فلورور دارد. در هر صورت فلورور اساساً روی توزیع و پراکندگی فاز فعال و قدرت اسیدی کاتالیست تاثیر دارد [۹-۶،۱۳].

با توجه به اهمیت حذف ترکیبات گوگرددار که مهم‌ترین و مضرترین آلاینده‌های موجود در نفت خام‌اند، در این تحقیق، نانوکاتالیستی مورد بررسی قرار گرفته است که بتوان توسط آن میزان این آلاینده را به حداقل ممکن رساند. لذا در این پژوهش به بررسی مشخصات و عملکرد نانوکاتالیست NiMo/F-Al₂O₃ سنتزی به روش تلقیح، که با درصدهای مختلفی از فلورور اصلاح شده، در حذف تیوفن پرداخته شده است. روش‌های مختلفی از جمله آنالیزهای XRD^۱, FESEM^۲, FTIR^۳ و BET^۴ برای تعیین مشخصات نانوکاتالیست تهیه شده مورد استفاده قرار گرفته است. عملکرد این کاتالیست در فرایند هیدروکسی‌سولفوریزاسیون کاتالیستی روی آلاینده شاخص تیوفن بررسی شده است.

مواد و روش‌ها

مواد مورد استفاده در سنتز نانوکاتالیست‌ها

مشخصات مواد به کار رفته در سنتز و ارزیابی عملکرد نانوکاتالیست‌های NiMo/F-Al₂O₃ تقویت‌شده با درصدهای متفاوت فلورور در جدول ۱ ارائه شده است. مواد اولیه خریداری شده بدون فراوری اضافی مورد استفاده قرار گرفته‌اند.

روش سنتز نانوکاتالیست‌ها

سنتز نانوکاتالیست‌ها با استفاده از روش تلقیح و طی چند مرحله انجام شد که نمودار جریان مراحل سنتز در شکل ۱ نشان داده شده است. نانوکاتالیست‌های سنتز شده در این تحقیق حاوی ۱۷ درصد وزنی MoO₃, ۴ درصد وزنی NiO و درصدهای

1. X-Ray Diffraction

2. Field Emission Scanning Electron Microscopy

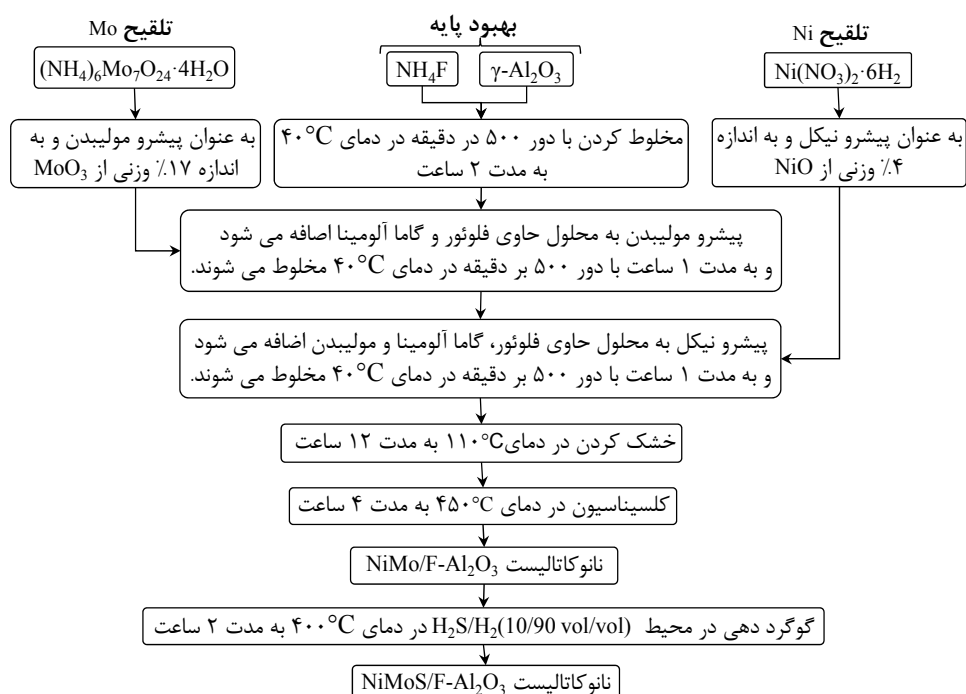
3. Fourier Transform Infrared

4. Brunauer-Emmett-Teller

متفاوتی از تقویت‌کننده ثانویه فلورورند. در تهیه نانوکاتالیست $\text{NiMo}/\text{F-Al}_2\text{O}_3$ ، گاما-آلومینا به عنوان پایه استفاده شده است که با استفاده از روش تلقیح، به ترتیب محلول‌های آبی شامل $(\text{NH}_4)_6\text{Mo}_7\text{O}_{24}\cdot 4\text{H}_2\text{O}$ و NH_4F و $\text{Ni}(\text{NO}_3)_2\cdot 6\text{H}_2\text{O}$ که به عنوان پیش‌سازهای فلورور، مولیبدن و نیکل مورد استفاده قرار می‌گیرند، روی سطح آن قرار داده شد. محلول آبی آماده شده به مدت ۱۲ ساعت در دمای 45°C کلسینیه شد.

جدول ۱- مواد شیمیایی استفاده شده در سنتز نانوکاتالیست $\text{NiMo}/\text{F-Al}_2\text{O}_3$ تقویت‌شده با فلورور به روش تلقیح

ردیف	ماده مورد استفاده	فرمول شیمیایی	نقش در نانوکاتالیست	شكل ظاهری	خلوص	شرکت سازنده
۱	گاما-آلومینا	$\gamma\text{-Al}_2\text{O}_3$	پایه نانوکاتالیست	پودر سفیدرنگ	بیش از ۹۹٪ وزنی	مرک (Merck)
۲	آمونیوم هپتا مولیبدات ۴ آبه	$(\text{NH}_4)_6\text{Mo}_7\text{O}_{24}\cdot 4\text{H}_2\text{O}$	فاز فعال مولیبدن	پودر سفیدرنگ	بیش از ۹۹٪ وزنی	مرک
۳	نیترات نیکل ۶ آبه	$\text{Ni}(\text{NO}_3)_2\cdot 6\text{H}_2\text{O}$	فاز فعال نیکل	پودر ارغوانی رنگ	بیش از ۹۷٪ وزنی	مرک
۴	آمونیوم فلوراید	NH_4F	اصلاح پایه	پودر سفیدرنگ	بیش از ۹۸٪ وزنی	مرک
۵	گوگرد	S	فعال سازی	پودر زردرنگ	بیش از ۹۸٪ وزنی	پالایشگاه تبریز
۶	آب مقطر	H_2O	محیط سنتز	مالخ	مالخ	کسری (Kasra)
۷	تیوفن	$\text{C}_4\text{H}_4\text{S}$	مایع بی‌رنگ	مالخ ترکیب گوگرددار	بیش از ۹۹٪ وزنی	مرک
۸	نرمال دکان	$\text{C}_{10}\text{H}_{22}$	مایع بی‌رنگ	مایع بی‌هیدرو کربن‌های سنتگین	بیش از ۹۴٪ وزنی	مرک



شکل ۱- نمودار جریان مراحل سنتز نانوکاتالیست‌های $\text{NiMo}/\text{F-Al}_2\text{O}_3$ به روش تلقیح و تقویت‌شده با غلظت‌های مختلفی از فلورور

در سنتز نانوکاتالیست‌ها، فاز فعال و دیگر اجزای تشکیل‌دهنده آن‌ها در حالت اکسیدی قرار دارند، در حالی که کاتالیست‌های فرایند هیدرودی‌سولفوریزاسیون در حالت سولفیدی فعال هستند. بنابراین، برای فعالیت بهتر نانوکاتالیست‌ها و

درنتیجه تولید سوخت با میزان گوگرد پایین‌تر، قبل از استفاده این نانوکاتالیست‌ها در فرایند هیدروودی‌سولفوریزاسیون، با استفاده از ترکیبات مناسب، آن‌ها از حالت اکسیدی به حالت سولفیدی تبدیل شدند. برای این کار، نانوکاتالیست‌های تهیه شده در یک لوله U شکل قرار داده شده و سپس دمای آن‌ها از دمای محیط با سرعت $10^{\circ}\text{C}/\text{min}$ به دمای 400°C رسانده شد. بعد از رسیدن به دمای مورد نظر، جریان گازی حاوی مخلوط $10\text{ درصد حجمی سولفید هیدروژن و }90\text{ درصد حجمی هیدروژن با دبی حجمی }40\text{ ml/min}$ به مدت ۲ ساعت از روی آن‌ها عبور داده شد.

روش‌های تعیین خصوصیات نانوکاتالیست‌ها

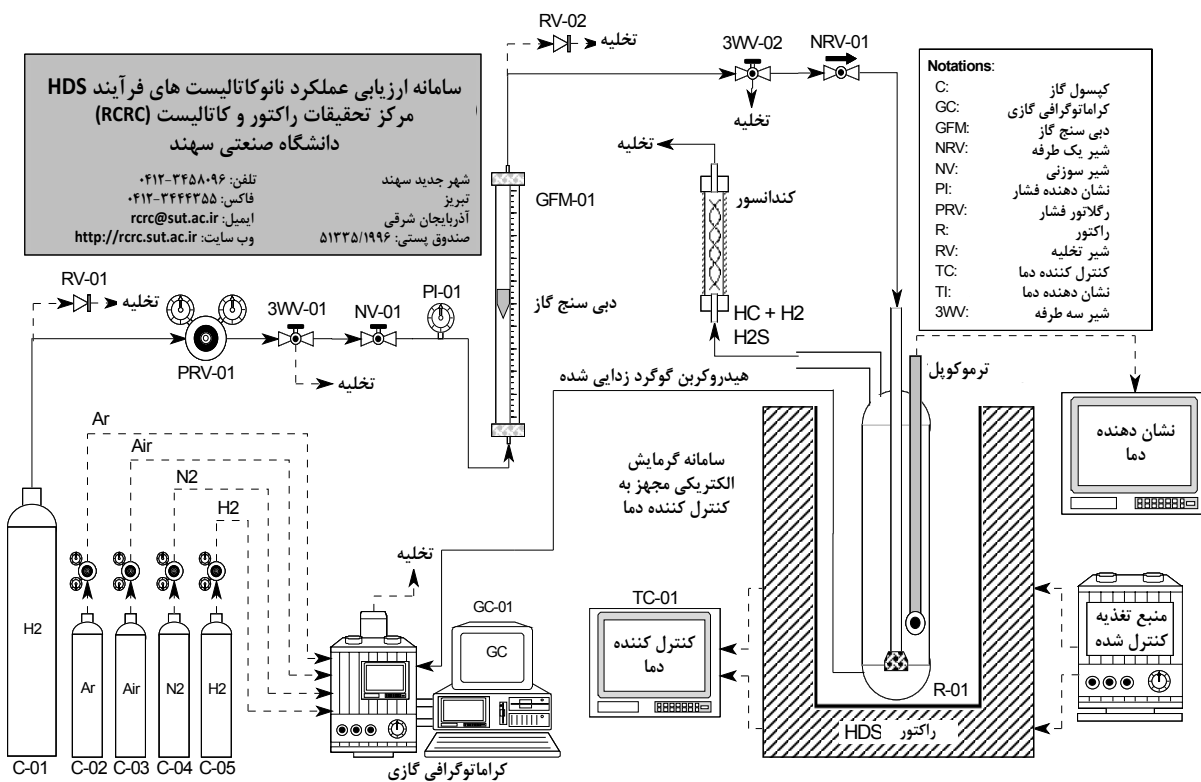
برای تعیین مشخصات و خصوصیات نانوکاتالیست‌های تهیه شده، از آنالیزهای مختلف و مرسوم در حیطه تکنولوژی نانو کمک گرفته می‌شود. برای تعیین ساختار کریستالی نانوکاتالیست‌های سنتزی از آنالیز پراش اشعه ایکس توسط دستگاه XRD مدل D5000 ساخت شرکت زیمنس کشور آلمان در محدوده $10-90^{\circ}$ استفاده شده است. آنالیز میکروسکوب الکترونی روبشی میدانی FESEM با استفاده از دستگاه هیتاچی مدل S-4160 ساخت کشور ژاپن، با حد تفکیک 3 nm ، برای بررسی اندازه نمونه‌ها و تعیین مورفولوژی آن‌ها، استفاده شد. برای به‌دست آوردن سطح ویژه از روش BET، به‌وسیله دستگاه کوانتاکروم^۱ (ChemBET 3000) ساخت کشور آمریکا کمک گرفته شده است. در این روش، با استفاده از منحنی‌های ایزوترم جذب و دفع، سطح ویژه نمونه‌ها اندازه‌گیری شده است. آنالیز FTIR نمونه‌ها توسط دستگاه اسپکترومتر 4600 UNICAM برای شناسایی ساختاری آن‌ها در محدوده 400 cm^{-1} تا 4000 cm^{-1} انجام گرفت. درانتها، به‌منظور بررسی فعالیت نانوکاتالیست‌های تهیه شده، عملکرد آن‌ها در فرایند هیدروودی‌سولفوریزاسیون تیوفن در فشار اتمسفری ارزیابی شد.

سامانه ارزیابی عملکرد نانوکاتالیست‌ها

به‌منظور بررسی تاثیر تقویت‌کننده ثانویه فلور از عملکرد نانوکاتالیست‌ها، فعالیت آن‌ها در فرایند هیدروودی‌سولفوریزاسیون تیوفن بررسی شده است. برای این منظور فرایند هیدروودی‌سولفوریزاسیون تیوفن روی نانوذرات کاتالیستی تهیه شده انجام شده و از دستگاه کراماتوگرافی گازی (GC) (ساخت شرکت طیف گستر ایران) برای اندازه‌گیری غلظت تیوفن محلول در حلal دکان استفاده شد. در هر یک از این آزمایش‌ها، غلظت اولیه تیوفن و غلظت آن پس از فرایند هیدروودی‌سولفوریزاسیون اندازه‌گیری شد. نمودار جریان سیستم آزمایشگاهی مورد استفاده در فرایند هیدروودی‌سولفوریزاسیون به‌منظور بررسی میزان حذف کاتالیستی تیوفن موجود در حلal دکان در شکل ۲ نشان داده شده است.

راکتور مورد استفاده در فرایند هیدروودی‌سولفوریزاسیون تیوفن، یک بالن شیشه‌ای سدهانه با حجم 50 میلی‌لیتر بود که تحت فشار اتمسفری کار می‌کرد. گاز هیدروژن بعد از عبور از یک دبی‌سنچ، که دبی گاز را در مقدار 40 ml/min ثابت نگه می‌داشت، وارد یکی از دهانه‌های بالن شده و در داخل محلول پخش می‌شد. سولفید هیدروژن، هیدروکربن‌های شامل 4 اتم کربن و سایر محصولات جانبی که حاصل انجام فرایند هیدروودی‌سولفوریزاسیون هستند و همچنین گاز هیدروژن واکنش‌داده از دهانه دیگر به بیرون از راکتور هدایت شد. برای کنترل دمای محلول واکنش نیز یک دما‌سنچ در یکی دیگر از دهانه‌های بالن تعبیه شده بود. به‌منظور ایجاد اختلاط مناسب و یکنواخت، از همزن مغناطیسی استفاده شد. به‌علاوه یک سیستم گرمایی مناسب برای کنترل و ثابت نگه داشتن دما در محدوده 160°C به کار گرفته شد. زمان آزمایش ۲ ساعت بود که از لحظه ورود هیدروژن به سیستم آغاز می‌شد. خوارک واکنش شامل 30 میلی‌لیتر حلal دکان با غلظت $1\text{ درصد وزنی تیوفن (}10000\text{ ppm)}$ به درون راکتور اضافه شد. درانتها نیز مقدار 0.2 گرم نانوکاتالیست به درون راکتور افزوده می‌شد. نمونه‌برداری قبل و بعد از انجام هر آزمایش انجام می‌شد و توسط تجهیزات کروماتوگرافی مورد آنالیز قرار می‌گرفت.

1. Quantachrome



شکل ۲- نمودار جریان سامانه آزمایشگاهی برای ارزیابی عملکرد نانوکاتالیست‌های NiMo/F-Al₂O₃ سنتزی به روش تلقیح و تقویت شده با غلاظت‌های مختلفی از فلوئور

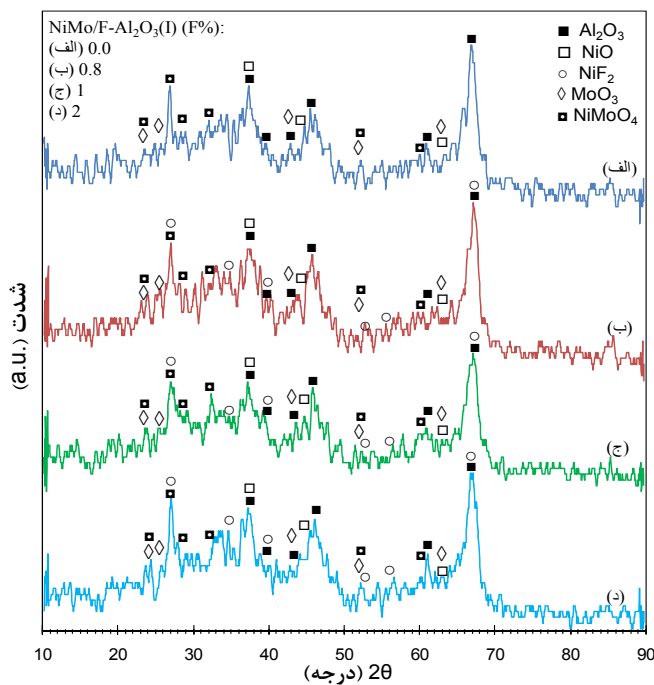
نتایج و بحث

تعیین خصوصیات نانوکاتالیست‌های سنتزی

آنالیز کریستالوگرافی XRD

به منظور بررسی ساختار کریستالی نمونه‌های مورد نظر، از آنالیز XRD استفاده شد. الگوی XRD نانوکاتالیست‌های NiMo/F-Al₂O₃، تهیه شده به روش تلقیح در محدوده $2\theta=10\text{--}90^\circ$ ، در شکل ۳ نشان داده شده است. انتظار می‌رود برای نانوکاتالیست مورد نظر گونه‌های Al₂O₃ (JCPDS : 00-004-0880)، NiO (JCPDS : 01-073-1519)، Ni₂O₃ (JCPDS : 01-081-02270)، NiF₂ (JCPDS : 00-047-1081)، MoO₃ (JCPDS : 00-045-0142) و NiMoO₄ (JCPDS : 00-047-1081) شناسایی شوند، اما همان‌گونه که بیان شد استفاده از تقویت‌کننده ثانویه فلوئور در تهیه نانوکاتالیست باعث افزایش توزیع و پراکندگی ذرات و ریزترشدن آنها می‌شود؛ درنتیجه پیک‌های مربوط به گونه MoO₃ با استفاده از این آنالیز شناسایی نشدند. این پدیده را می‌توان به توزیع و پراکندگی بالای این گونه روی سطح پایه ارتباط داد.

افزودن فلوئور به نانوکاتالیست‌های سنتزی، با تشکیل گونه‌های NiF₂ در زوایای $2\theta=27^\circ, 35^\circ, 40^\circ, 53^\circ, 66^\circ$ مشاهده شده است. همچنین، با توجه به الگوهای XRD، مشاهده می‌شود با افزودن فلوئور به نانوکاتالیست‌ها، شدت پیک‌ها در زوایای $2\theta=24^\circ, 27^\circ, 33^\circ$ به مقدار اندکی افزایش پیدا می‌کند که این موضوع می‌تواند در اثر تشکیل گونه‌های NiMoO₄، که فاز فعال نانوکاتالیست در انجام واکنش‌های هیدروکسی‌سولفوریزاسیون است، باشد. درنتیجه می‌توان انتظار داشت که اضافه کردن فلوئور باعث افزایش فعالیت نانوکاتالیست و در بی آن افزایش راندمان فرایند هیدروکسی‌سولفوریزاسیون شود.



شکل ۳- آنالیز XRD نانوکاتالیست‌های NiMo/F-Al₂O₃ سنتزی به روش تلچیح و تقویت شده با غلظت‌های مختلفی از فلوئور

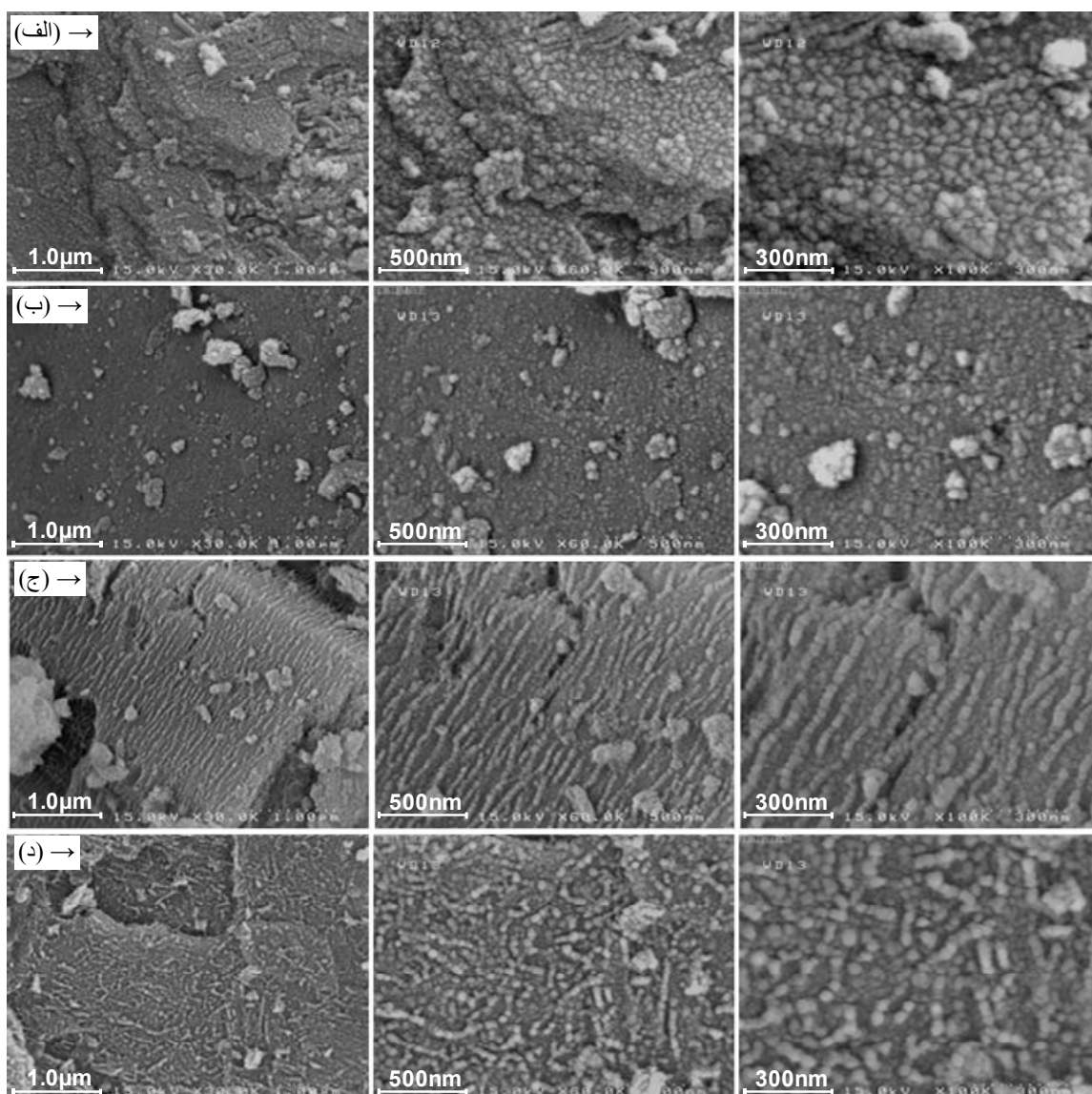
آنالیز مورفولوژی FESEM

برای بررسی اندازه ذرات نمونه‌ها و تعیین مورفولوژی آن‌ها، از تصاویر میکروسکوپ الکترونی روبشی (FESEM) استفاده شده است. تصاویر FESEM نانوکاتالیست‌های NiMo/F-Al₂O₃ در شکل ۴ نشان داده شده است. همچنین، متوسط اندازه ذرات تشکیل‌دهنده این نانوکاتالیست‌ها، که با استفاده از نرمافزار J-Image محاسبه شده، در جدول ۲ ارائه شده است.

با توجه به این تصاویر، مشاهده می‌شود که با اضافه کردن فلوئور، اندازه ذرات نانوکاتالیست‌های تهیه شده کوچک‌تر می‌شود و این روند کاهش اندازه ذره تا مقدار فلوئور ۱ درصد وزنی ادامه دارد و در صورت افزودن میزان بیشتر فلوئور، میانگین اندازه ذرات افزایش می‌یابد. همچنین، با افزایش میزان فلوئور، کلخشدنشدن ذرات تشکیل‌دهنده نانوکاتالیست کاهش می‌یابد و ذرات یکنواخت‌تر و با اندازه‌های یکسان‌تری روی سطح پایه توزیع می‌شوند. از آنجایی که افزایش قدرت اسیدی نانوکاتالیست منجر به توزیع و پخش بیشتر فاز فعال روی پایه می‌شود، لذا روند تغییر اندازه ذرات را می‌توان به روند افزایشی قدرت اسیدی محلول آماده‌سازی نانوکاتالیست با افزودن فلوئور و درنهایت افزایش قدرت اسیدی نانوکاتالیست تهیه شده مرتبط دانست [۷]. دو نکته با توجه به این تصاویر واضح است: اولًا ذرات فاز فعال قطری در حد نانومتر دارند و ثانیاً اینکه، با افزایش فلوئور، فاز فعال یکنواخت‌تر و با اندازه دانه‌های یکسان‌تر روی سطح پایه توزیع می‌شود. این عوامل می‌تواند باعث افزایش فعالیت نانوکاتالیست و درنتیجه تولید سوخت پاک در فرایند هیدروکربن‌سولفور بیزاسیون شود.

جدول ۲- روند تغییر متوسط اندازه دانه‌های نانوکاتالیست‌های سنتز شده NiMo/F-Al₂O₃ تقویت شده با فلوئور به روش تلچیح

متوسط اندازه دانه‌های نانوکاتالیست‌های سنتزی (nm)	درصد وزنی فلوئور موجود در نانوکاتالیست
۴۸/۲	.
۴۳/۳	۰/۸
۳۲/۰	۱
۴۳/۹	۲

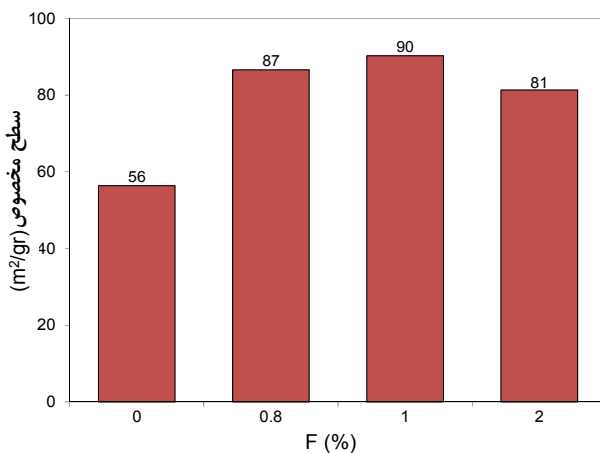


شکل ۴- تصاویر FESEM نانوکاتالیست‌های $\text{NiMo}/\text{F}-\text{Al}_2\text{O}_3$ سنتزی به روش تلقیح و تقویت شده با غلظت‌های مختلفی از فلورور

آنالیز سطح مخصوص BET

یکی از آنالیزهای مهم در تعیین مشخصات نانوکاتالیست‌ها، اندازه‌گیری سطح ویژه آن‌هاست. سطح ویژه نانوکاتالیست‌های $\text{NiMo}/\text{F}-\text{Al}_2\text{O}_3$ تهییه شده به روش تلقیح، با استفاده از آنالیز BET تعیین و در شکل ۵ نشان داده شده است. همان‌گونه که ملاحظه می‌شود، افزایش فلورور به نانوکاتالیست‌های $\text{NiMo}/\text{Al}_2\text{O}_3$ فرایند هیدروودی‌سولفوریزاسیون، باعث افزایش سطح ویژه آن‌ها تا مقدار ۱ درصد وزنی فلورور می‌شود و با اضافه کردن بیشتر فلورور سطح نانوکاتالیست کاهش می‌یابد. توضیحی که برای این نتایج می‌توان بیان کرد این است که افزایش فلورور باعث ریزتر شدن ذرات و افزایش توزیع و پراکندگی آن‌ها، همچنین اسیدی شدن محلول آماده‌سازی نانوکاتالیست می‌شود. اما افزایش بیش از مقدار بهینه فلورور باعث نفوذ محلول اسیدی به داخل حفره‌ها و تخریب دیواره‌های نازک مزوحفه^۱ پایه گاما-آلومینا می‌شود و درنتیجه سطح ویژه نانوکاتالیست کاهش می‌یابد [۱۲].

1. Mesoporous

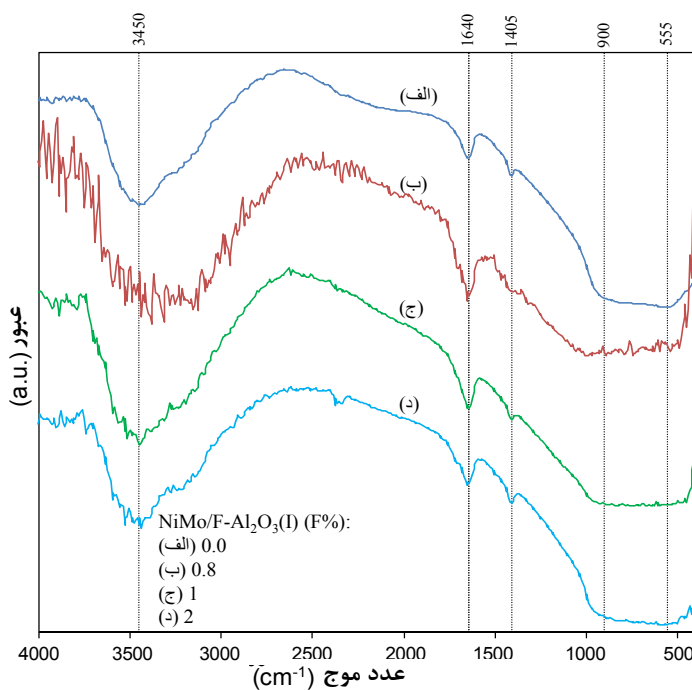


شکل ۵- آنالیز BET نانوکاتالیست‌های NiMo/F-Al₂O₃ سنتزی به روش تلقیح و تقویت شده با غلظت‌های مختلفی از فلوئور

با توجه به افزایش سطح ویژه نانوکاتالیست‌های سنتزی و درنتیجه سطح در دسترس واکنش‌دهنده‌ها برای انجام فرایند هیدروودی‌سولفوریزاسیون انتظار می‌رود افزایش سطح باعث افزایش کارایی نانوکاتالیست‌های فرایند هیدروودی‌سولفوریزاسیون شود.

آنالیز طیف‌سنگی FTIR

نمودار FTIR نانوکاتالیست‌های NiMo/F-Al₂O₃ تقویت شده با مقادیر متفاوت از فلوئور و تهیه شده به روش تلقیح در محدوده ۴۰۰ تا 4000 cm^{-1} در شکل ۶ نشان داده شده است. در طیف ارائه شده، گروه‌های عاملی در محدوده عدد موجی ۳۰۰۰ تا 3600 cm^{-1} و ۱۳۰۰ تا 1700 cm^{-1} مربوط به فرکانس‌های ارتعاشی گروه‌های هیدروکسیل (O-H) بوده و در ناحیه ۳۰۰ تا 1000 cm^{-1} مربوط به گروه‌های عاملی آلومینات (Al-O) است [۱۴-۱۶].

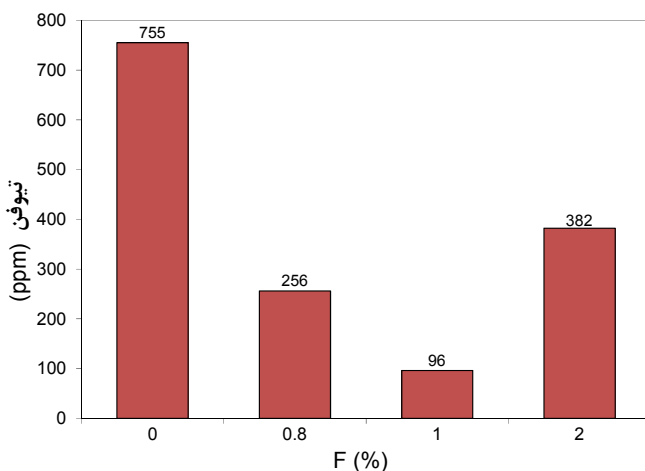


شکل ۶- آنالیز FTIR نانوکاتالیست‌های NiMo/F-Al₂O₃ سنتزی به روش تلقیح و تقویت شده با غلظت‌های مختلفی از فلوئور

با توجه به شکل، با افزودن بیش از ۰/۸ درصد وزنی فلوئور به نانوکاتالیست، شدت پیک در 1640 cm^{-1} کاهش می‌یابد. این پدیده را می‌توان به جایگزینی فلوئور بر گروههای هیدروکسیل سطح آلومینا مرتبط دانست. به طور کلی اکثر گروههای هیدروکسیل سطح آلومینا خاصیت اسیدی دارند و تنها ۱۵ درصد از کل این گروهها دارای خاصیت بازی‌اند. تحقیقات نشان می‌دهد که فلوئور عمدتاً جایگزین گروههای هیدروکسیل با خاصیت بازی می‌شود. با توجه به مطالب گفته‌شده، کاهش شدت پیک در 1640 cm^{-1} بیان‌گر این نکته است که فلوئور باعث کاهش خاصیت بازی پایه آلومینا می‌شود و درنتیجه خاصیت اسیدی نانوکاتالیست افزایش می‌یابد. از طرف دیگر فلوئور باعث افزایش الکترونگاتیوی سطح و بهدلیل آن باعث افزایش قدرت اسیدی گروههای هیدروکسیل باقی‌مانده می‌شود [۱۲، ۱۱].

ارزیابی عملکرد نانوکاتالیست‌های سنتزی در حذف تیوفن

در این قسمت، تأثیر میزان فلوئور روی فعالیت نانوکاتالیست‌های $\text{NiMo/F-Al}_2\text{O}_3$ تهیه‌شده به‌روش تلقیح بررسی می‌شود. شکل ۷ میزان تیوفن موجود در محصول را نسبت به مقادیر فلوئور موجود در نانوکاتالیست‌های $\text{NiMo/F-Al}_2\text{O}_3$ نشان می‌دهد. همان‌طوری که مشاهده می‌شود، با افزایش میزان فلوئور به مقدار ۱ درصد وزنی به نانوکاتالیست‌ها، فعالیت آن‌ها افزایش می‌یابد و درنتیجه غلظت تیوفن واکنش‌نده در محصول نهایی کاهش می‌یابد. اما در مقادیر بیشتر فلوئور، تقویت‌کننده ثانویه تأثیر منفی روی فعالیت نانوکاتالیست داشته و باعث می‌شود که غلظت تیوفن واکنش‌نده در محلول نهایی افزایش یابد. همان‌طوری که در قسمت مریبوط به آنالیزهای سطح ویژه و FESEM این نانوکاتالیست نشان داده شد، افزودن فلوئور تا میزان ۱ درصد وزنی، باعث افزایش سطح ویژه نانوکاتالیست و توزیع و پراکندگی ذرات می‌شود و همچنین متوسط اندازه ذرات کاهش می‌یابد. به علاوه افزایش فلوئور باعث افزایش قدرت اسیدی نانوکاتالیست می‌شود. بنابراین با تأثیرات مثبت افزودن فلوئور بر روی خواص ساختاری، فعالیت نانوکاتالیست نیز در حذف تیوفن افزایش می‌یابد. از سوی دیگر، با افزایش میزان قدرت اسیدی، احتمال غیرفعال شدن نانوکاتالیست افزایش می‌یابد. بنابراین، یافتن میزان بهینه فلوئور در نانوکاتالیست امری ضروری به‌نظر می‌رسد و با توجه به آنالیزهای انجام‌شده، میزان بهینه فلوئور برای این نانوکاتالیست ۱ درصد وزنی است.



شکل ۷- تأثیر مقدار تقویت‌کننده فلوئور روی فعالیت نانوکاتالیست‌های $\text{NiMo/F-Al}_2\text{O}_3$ سنتزی به‌روش تلقیح

نتیجه‌گیری

افزایش فلوئور به مقدار بهینه به نانوکاتالیست باعث افزایش میزان فاز فعال روی سطح نانوکاتالیست می‌شود. با توجه به نتایج حاصل از آنالیز FESEM، می‌توان این نتیجه را گرفت که اضافه کردن فلوئور تا ۱ درصد وزنی به نانوکاتالیست $\text{NiMo/F-Al}_2\text{O}_3$

باعث کاهش اندازه دانه‌ها و یکنواخت شدن توزیع ذرات روی سطح پایه می‌شود. همچنین، با استفاده از آنالیز BET، این نتیجه استنباط شد که اضافه کردن فلورئور تا ۱ درصد وزنی باعث افزایش سطح نانوکاتالیست می‌شود که این نتیجه می‌تواند به علت کاهش اندازه دانه‌ها باشد که در قسمت آنالیز FESEM به اثبات رسید. نتایج حاصل از آنالیز FTIR بیانگر این نکته است که در اثر افزودن میزان بهینه تقویت‌کننده فلورئور به نانوکاتالیست، قدرت اسیدی آن افزایش می‌یابد. درنهایت نتایج حاصل از بررسی فعالیت نانوکاتالیست‌های تهیه شده نشان‌دهنده این است که توسط این نانوکاتالیست می‌توان میزان تیوفن (شاخص ترکیبات گوگرددار) در محصول نهایی را به کمتر از مقدار ۱۰۰ ppm کاهش داد. سطح ویژه بالا، افزایش توزیع و پراکندگی فاز فعال، ایجاد سایت‌های فعال جدید و افزایش اسیدیتۀ نانوکاتالیست‌های سنتزی منجر به افزایش جذب سطحی و نیز افزایش فعالیت کاتالیستی شده است. آنچه که به عنوان یک نتیجه‌گیری کلی از آنالیزهای انجام‌گرفته روی نانوکاتالیست‌های سنتزی NiMo/F-Al₂O₃ می‌توان استنباط کرد این است که اگر فلورئور به مقدار بهینه ۱ درصد وزنی به نانوکاتالیست‌های NiMo/F-Al₂O₃ فرایند هیدروودی‌سولفوریزاسیون افزوده شود، باعث بهبود خواص ساختاری و سطحی آن‌ها می‌شود. درنتیجه فعالیت نانوکاتالیست‌های مورد نظر در فرایند گوگردزدایی با هیدروژن افزایش می‌یابد.

تشکر و قدردانی

نویسنده‌گان از حمایت مالی پالایشگاه تبریز، دانشگاه صنعتی سهند و ستاد فناوری نانو در اجرای پروژه قدردانی می‌نمایند.

منابع

1. Lauritsen, J. V., "Atomic-Scale Study of a Hydrodesulfurization Model Catalyst," PhD Thesis, Department of Physics and Astronomy, University of Aarhus, 2002.
2. Saito, Y. and Segawa, K., "Catalytic Activity of CoMo catalysts Supported on Boron-Modified Alumina for the Hydrodesulphurization of Dibenzothiophene and 4,6-Dimethylbenzothiophene," *Appl. Catal.*, A, 353, pp. 258-265, 2009.
3. Shu, Y. and Oyama, S. T., "Synthesis, Characterization, and Hydrotreating Activity of Carbon-Supported Transition Metal Phosphides," *Carbon*, 43, pp. 1517-1532, 2005.
4. Usman, Kubota, T., Araki, Y., Ishida, K., and Okamoto, Y., "The Effect of Boron Addition on the Hydrodesulfurization Activity of MoS₂/Al₂O₃ and Co-MoS₂/Al₂O₃ Catalysts," *J. Catal.*, 227, pp. 523-529, 2004.
5. Galindo, I. R. and de los Reyes, J. A., "Effect of alumina-Titania Supports on the Activity of Pd, Pt and Bimetallic Pd-Pt Catalysts for Hydorefining Applications," *Fuel Process. Technol.*, 88, pp. 859-863, 2007.
6. Kim, H., Lee, J. J., and Moon, S. H., "Hydrodesulfurization of Dibenzothiophene Compounds using Fluorinated NiMo/Al₂O₃ Catalysts," *Appl. Catal.*, B, 44, pp. 287-299, 2003.
7. Torres-Mancera, P., Ramírez, J., Cuevas, R., Gutiérrez-Alejandre, A., Murrieta, F., and Luna, R., "Hydrodesulfurization of 4,6-DMDBT on NiMo and CoMo Catalysts Supported on B2O₃-Al₂O₃," *Catal. Today*, 107-108, pp. 551-558, 2005.
8. Escalona, N., Ojeda, J., Palacios, J. M., Yates, M., Fierro, J. L. G., Agudo, A. L., and Gil-Llambías, F. J., "Promotion of Re/Al₂O₃ and Re/C Catalysts by Ni Sulfide in the HDS and HDN of Gas oil: Effects of Ni Loading and Support," *Appl. Catal.*, A, 319, pp. 218-229, 2007.
9. Ding, L., Zhang, Z., Zheng, Y., Ring, Z., and Chen, J., "Effect of Fluorine and Boron Modification on the HDS, HDN and HDA Activity of Hydrotreating Catalysts," *Appl. Catal.*, A, 301, pp. 241-250, 2006.
10. Guichard, B., Roy-Auberger, M., Devers, E., Legens, C., and Raybaud, P., "Aging of Co(Ni)MoP/Al₂O₃ Catalysts in Working State," *Catal. Today*, 130, pp. 97-108, 2008.
11. Lee, J. J., Kim, H., Koh, J. H., Jo, A., and Moon, S. H., "Performance of Fluorine-Added CoMoS/Al₂O₃ Prepared by Sonochemical and Chemical Vapor Deposition Methods in the Hydrodesulfurization of Dibenzothiophene and 4,6-Dimethylbenzothiophene," *Appl. Catal.*, B, 61, pp. 274-280, 2005.
12. Sun, M., Nicosia, D., and Prins, R., "The Effects of Fluorine, Phosphate and Chelating agents on Hydrotreating Catalysts and Catalysis," *Catal. Today*, 86, pp. 173-189, 2003.
13. Zhou, T. N., Yin, H. L., Liu, Y. Q., Han, S. N., Chai, Y. M., and Liu, C. G., "Effect of Phosphorus Content on the Active Phase Structure of NiMoP/Al₂O₃ Catalyst," *J. Fuel Chem. Tech.*, 38, pp. 69-74, 2010.
14. Contreras, C. A., Sugita, S., and Ramos, E., "Preparation of Sodium Aluminate From Basic Aluminium Sulfate," *J. Mat.*, 2, pp. 1-13, 2006.
15. Stuart, B. H., *Infrared Spectroscopy: Fundamentals and Applications*, John Wiley & Sons, Chichester, UK, 2004.

16. Povarennykh, A. S., "The Use of Infrared Spectra for the Determination of Minerals," *Am. Mineral.*, 63, pp. 956-959, 1978.
17. Nakamoto, K., *Infrared and Raman Spectra of Inorganic and Coordination Compounds*, John Wiley & Sons, New York, 1986.
18. Coates, J., *Interpretation of Infrared Spectra, A Practical Approach*, John Wiley & Sons, Chichester, 2000.

English Abstract

Synthesize of NiMo/F-Al₂O₃ Nanocatalyst using Fluorine-Modified Impregnation Method for Desulfurization of Hydrocarbon Fuels

M. Ebrahiminejad^{1,2} and M. Haghghi^{1,2}

1- Department of Chemical Engineering, Sahand University of Technology, Tabriz, Iran

2- Reactor and Catalysis Research Center (RCRC), Sahand University of Technology, Tabriz, Iran

(Received: 2012.8.5, Received in revised form: 2013.1.2, Accepted: 2013.2.6)

In this research, NiMo/F-Al₂O₃ nanocatalysts were synthesized using impregnation method and modified with different fluorine contents. The synthesized nanocatalysts were examined toward hydrodesulphurization of thiophene. The physicochemical properties of nanocatalysts were assessed by XRD, FESEM, BET and FTIR analyses. Structural and surface properties of nanocatalyst with optimum fluorine contents (1 wt.%) were more favorable than of fluorine-free nanocatalyst. Results show that the surface area of the samples was increased with addition of fluorine, while the catalyst particle size was reduced. Activity of nanocatalysts in the conversion of thiophene showed that the amount of sulphur in final solution was reduced down to 100 ppm. The increasing in activity could be addressed by increasing surface area and excellent structural properties of these nanocatalysts.

Keywords: NiMo/Al₂O₃, Hydrodesulfurization, Fluorine, Structural properties.